

t 比特半经典量子 Fourier 变换

付向群, 鲍皖苏*, 周淳, 宋震

解放军信息工程大学电子技术学院, 郑州 450004

* 联系人, E-mail: 2010thzz@sina.com

2011-06-13 收稿, 2011-07-21 接受

摘要 针对目前大维数量子寄存器生成的困难性, 研究了基于小维数量子寄存器实现大维数量子 Fourier 变换的方法. 首先, 定义了 t 比特半经典量子 Fourier 变换, 从几率幅的角度证明该变换可以实现量子 Fourier 变换, 且所需 2 位量子门的规模显著降低, 并设计了该变换的量子实现线路. 然后基于 t 比特半经典量子 Fourier 变换, 将经典固定窗口法与 Shor 算法实现方法相融合, 重新设计了 Shor 整数分解量子算法的实现线路, 与 Parker 等人的实现线路相比, 计算资源大体相同(所需的基本量子门均为 $O(\lceil \log N \rceil^3)$, 所需量子寄存器的维数前者较后者多 $t-1$ 维), 而实现速度提高了 t^2 倍, t 是窗口宽度.

关键词

量子 Fourier 变换
Shor 量子算法
窗口法

量子计算机具有强大的并行计算能力, 对现代密码的安全性带来了严峻的挑战. 1994 年, Shor^[1]提出了量子计算机上多项式时间的大数质因子分解算法, 该算法对基于大数质因子分解、离散对数问题的公钥密码如 RSA 等公钥密码体制产生了巨大威胁. 1996 年, Grover^[2]提出了未加整理数据库的量子搜索算法, 该算法用于对称密码的密钥穷尽攻击时, 计算复杂度可以得到开平方根级的降低. 自此之后, 量子计算和量子密码的研究引起了国内外学者的广泛关注^[3-11].

尽管量子计算和 Shor 量子算法的原理的正确性已得到验证^[12], 但将量子计算机真正应用于实际, 破译目前实用的 2048 比特的 RSA 或 191 比特的 ECC 还很困难, 主要的原因在于目前人们还无法研制千比特级的量子计算机. 因此, 长期以来如何减少 Shor 量子算法实现时所需的计算资源一直是人们关注的难点和热点.

1996 年, Vedral 等人^[13]首次设计了一个 Shor 算法实现的量子线路, 该线路需要规模为 $7n+1$ 维量子寄存器和 $O(n^3)$ 基本量子门就可以实现模幂运算(n

是所分解整数的比特长), 如果利用 Toffoli 门代替用于存储运算过程中产生的中间态的 n 维量子寄存器, 可将所需量子寄存器的维数降为 $4n+3$, 同年, Beckman 等人^[14]对此作了进一步分析, 如果所需的 Toffoli 门数量不受限制, 那么实现模幂运算需要 $4n+1$ 维量子寄存器. 1998 年, Zalka^[15]给出一个需要 $3n+O(\log n)$ 维量子寄存器实现 Shor 算法的量子线路. 这些研究结果都是从减少模幂运算所需量子寄存器维数方面优化 Shor 算法的实现线路.

一般情况下, 在原始的量子 Fourier 变换实现中, 需要 n 维量子寄存器, 且 n 位量子态是一次输入, 在实现线路中共需要 $n^2/2$ 个 2 位量子门、 n 个 1 位量子门^[16]. 对于较大的 n , 在现有技术条件下还无法实现 n 维量子 Fourier 变换. 1996 年, Griffiths 等人^[17]提出了单比特半经典量子 Fourier 变换, 由于该变换的 n 比特信息是按逐比特方式输入的, 其实现量子 Fourier 变换所需量子寄存器维数仅为 1 且只需要 1 个 1 位量子门, 不再需要 2 位量子门. 也正是有了 Griffiths 等人的工作, 2000 年, Parker 等人^[18]基于单比特半经典量子 Fourier 变换设计了 Shor 算法的新的

实现线路, 所需的量子寄存器为 $n+1$ 维. 因此, 单比特半经典量子 Fourier 变换为大维数量子 Fourier 变换的实现提供了一种解决方案, 对在量子计算资源有限的条件下将 Shor 算法应用于破译 RSA, ECC 等实用的公钥密码具有重要的现实意义和实用价值.

量子 Fourier 变换与单比特半经典量子 Fourier 变换相比, 前者实现速度快但所需量子资源多, 后者实现速度相对较慢但所需量子资源少. 考虑到目前实际实现时 2 位量子门较 1 位量子门操控的困难性, 因此, 在量子计算的实现线路中应尽量减少 2 位量子门的使用. 用单比特半经典量子 Fourier 变换代替量子 Fourier 变换虽是一个非常好的选择, 但毕竟是以牺牲速度为代价的. 针对量子 Fourier 变换的实现, 基于目前大维数量子寄存器生成的困难性, 如何既兼顾到实现所需的量子资源又兼顾到实现的速度, 即基于小维数量子寄存器如何实现大维数量子 Fourier 变换的方法, 还需进一步研究.

本文给出了 t 比特半经典量子 Fourier 变换的定义, 基于几率幅证明了该变换也可以实现量子 Fourier 变换, 并设计了该变换的量子实现线路, 与量子 Fourier 变换相比, 所需 2 位量子门和 1 位量子门的规模分别降为原来的 $1/l^2, 2/l$ (n 是量子 Fourier 变换的维数, 如果 t 整除 $n, l = [n/t] - 1$, 否则 $l = [n/t]$); 与单比特半经典量子 Fourier 变换相比, 实现速度提高了大约 t 倍. 基于 t 比特半经典量子 Fourier 变换, 给出了经典的固定窗口法与 Shor 整数分解量子计算算法的融合方法, 设计了基于该方法的 Shor 整数分解量子计算算法实现线路, 与 Parker 等人的实现线路^[18]相比, 在计算资源大体相同的条件下实现速度提高了 t^2 倍, t 是窗口宽度.

1 量子 Fourier 变换与单比特半经典量子 Fourier 变换

定义 1 (量子 Fourier 变换)^[16] 如果在一组标准正交基 $|0\rangle, |1\rangle, \dots, |N-1\rangle$ 上的一个线性算子在基态上的作用 U_F 为

$$U_F : |j\rangle \mapsto \frac{1}{\sqrt{N}} \sum_{k=0}^{N-1} \omega_N^{jk} |k\rangle,$$

那么对任意的状态的作用可以表示为

$$U_F : \sum_{j=0}^{N-1} x_j |j\rangle \mapsto \frac{1}{\sqrt{N}} \sum_{k=0}^{N-1} \sum_{j=0}^{N-1} x_j \omega_N^{jk} |k\rangle,$$

称 U_F 为量子 Fourier 变换. 其中, “ \mapsto ” 表示该变换是可逆变换, $\omega_N = e^{2\pi i/N}$.

如果 $N = 2^n$, 那么对一个量子态 $|a\rangle$ 作用量子 Fourier 变换后有

$$U_F |a\rangle = \prod_{j=0}^{n-1} \otimes |p(\phi_j)\rangle_j, \quad (1)$$

此时称量子 Fourier 变换为 n 维量子 Fourier 变换. 其

中, $a = \sum_{j=0}^{n-1} a_j 2^j$ 是 a 的二进制表示, a_j 为 0 或者 1,

$$\phi_j = \sum_{k=0}^{n-j} a_k 2^{j+k-n-1}, \quad j=0, 1, \dots, n-1, \quad |p(\phi)\rangle = (|0\rangle + e^{2\pi i\phi} |1\rangle) / \sqrt{2}.$$

文献[16]指出实现一个量子 Fourier 变换需要 $\lceil \log N \rceil$ 维量子寄存器. 1996 年, Griffiths 和 Niu 提出了只需 1 维量子寄存器且实现线路只需要 1 位门就可实现量子 Fourier 变换的方法, 称为单比特半经典量子 Fourier 变换^[17], 其量子实现线路如图 1 所示.

图 1 的相关说明:

(1) 方框代表一个黑盒, 其变换可描述为

$$\begin{cases} |0\rangle \mapsto (|0\rangle + |1\rangle) / \sqrt{2} \\ |1\rangle \mapsto e^{2\pi i\phi} (|0\rangle - |1\rangle) / \sqrt{2} \end{cases} \quad (2)$$

(2) 单线表示量子态, 双线表示经典值;

(3) 每个黑盒输出两个经典值: 一个是测量的结果, 另一个是相位 $\phi' = \phi/2 + c/4$, 并做为下一个黑盒的输入, 其中 ϕ 的初始值为 0;

(4) 最终的观测结果为 $c = \sum_{k=0}^{n-1} 2^k c_k$.

文献[16]指出, 对量子态 $|a\rangle$ 做完单比特半经典量子 Fourier 变换所得的某个量子态 $|c\rangle$ 的几率幅与做完量子 Fourier 变换一样, 因此利用单比特半经典量子 Fourier 变换可以实现量子 Fourier 变换, 且 $|a\rangle$ 是从高位至低位逐比特输入的, 亦即单比特半经

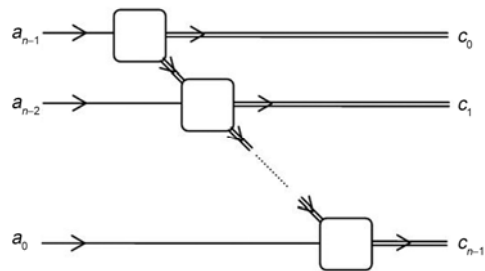


图 1 单比特半经典量子 Fourier 变换实现线路

量子 Fourier 通过 n 步同样可以完成 2^n 个输入的并行计算. 两者的不同点在于单比特半经典量子 Fourier 变换的每个比特信息处理完都进行观测, 以此来减少所需量子资源.

2 t 比特半经典量子 Fourier 变换

在量子实现线路中, 利用单比特半经典量子 Fourier 变换实现量子 Fourier 变换可以降低所需资源, 但速度慢, 而量子 Fourier 变换的原始实现方法速度快, 但所需资源多. 针对这两种实现方法各自存在的缺点, 本文设计了一个既兼顾到量子资源又兼顾到实现速度的量子 Fourier 变换的实现方法.

定义 2 设 t 是正整数, $l = \begin{cases} \lfloor n/t \rfloor, & t \mid n \\ \lfloor n/t \rfloor - 1, & t \nmid n \end{cases}$, $|a\rangle =$

$|a_{n-1}, a_{n-2}, \dots, a_0\rangle$ 是标准正交基 $|0\rangle, |1\rangle, \dots, |2^n - 1\rangle$ 中的任意一个基态, 如果变换 U_{F_t} 对 $|a\rangle$ 的作用为

$$\begin{aligned} & |a_{n-1}, a_{n-2}, \dots, a_l\rangle \mapsto \\ & \frac{1}{2^{(n-l)/2}} \sum_{c'_0=0}^{2^{n-l}-1} \omega_{2^{n-l}}^{a'_0 c'_0} |c_{n-l-1}, c_{n-l-2}, \dots, c_0\rangle, \\ & |a_{l-1}, a_{l-2}, \dots, a_{(l-1)t}\rangle \mapsto \\ & \frac{1}{2^{l/2}} \sum_{c'_1=0}^{2^l-1} \omega_{2^l}^{a'_1 c'_1} e^{2\pi i(a_{l-1} + \frac{a_{l-2}}{2} + \dots + \frac{a_{(l-1)t}}{2^{l-1}})\varphi_1} |c_{n-(l-1)t-1}, c_{n-(l-1)t-2}, \dots, c_{n-l}\rangle, \\ & \vdots \\ & |a_{t-1}, a_{t-2}, \dots, a_0\rangle \mapsto \\ & \frac{1}{2^{t/2}} \sum_{c'_0=0}^{2^t-1} \omega_{2^t}^{a'_0 c'_0} e^{2\pi i(a_{t-1} + \frac{a_{t-2}}{2} + \dots + \frac{a_0}{2^{t-1}})\varphi_l} |c_{n-1}, c_{n-2}, \dots, c_{n-t}\rangle, \end{aligned}$$

其中, $a'_0 = \sum_{r=l}^{n-1} 2^{r-l} a_r$, $a'_j = \sum_{r=(l-j)t}^{(l-j+1)t-1} 2^{r-(l-j)t} a_r$, $c'_0 = \sum_{r=0}^{n-l-1} 2^r c_r$, $c'_j = \sum_{r=n-(l-j+1)t}^{n-(l-j)t-1} 2^{r-n+(l-j+1)t} c_r$, $\varphi_1 = \frac{c_0}{2^{n-l+1}} + \dots + \frac{c_{n-l-1}}{2^2}$, $\varphi_k = \frac{\varphi_{k-1}}{2^t} + \frac{c_{n-(l-k+2)t}}{2^{t+1}} + \dots + \frac{c_{n-(l-k+1)t-1}}{2^2}$ ($j=1, \dots, l, k=2, \dots, l$), 则称变换 U_{F_t} 为量子态 $|a\rangle$ 的 t 比特半经典量子 Fourier 变换.

U_{F_t} 实际上是从高位至低位按块进行变换的, 其中第一块是 $n-lt$ 位的, 其余均为 t 位.

定理 1 设 $|0\rangle, |1\rangle, \dots, |N-1\rangle$ 是一组标准正交基, U_F 是量子 Fourier 变换, U_{F_t} 是 t 比特半经典量子 Fourier 变换, 则对基态中的任意一个量子态

$|a\rangle = |a_{n-1}, a_{n-2}, \dots, a_0\rangle$ 做 U_F 和 U_{F_t} 变换之后, 得到结果 $|c\rangle = |c_{n-1}, c_{n-2}, \dots, c_0\rangle$ 的概率相等.

证明 要证明定理成立, 只需证明对 $|a\rangle$ 分别做 U_F 和 U_{F_t} 变换之后, 得到结果 $|c\rangle$ 的几率幅一样.

根据定义 2 和 $e^{2\pi i} = 1$ 可得

$$\omega_{2^{n-l}}^{a'_0 c'_0} = \omega_{2^{n-l}}^{a'_0 c} = e^{\pi i \left(\frac{ca_{n-1}}{2^0} + \frac{ca_{n-2}}{2^1} + \dots + \frac{ca_l}{2^{n-l-1}} \right)},$$

故 $|c_{n-l-1}, c_{n-l-2}, \dots, c_0\rangle$ 的几率幅为

$$\frac{1}{2^{(n-l)/2}} e^{\pi i \left(\frac{ca_{n-1}}{2^0} + \frac{ca_{n-2}}{2^1} + \dots + \frac{ca_l}{2^{n-l-1}} \right)}.$$

又由于

$$\begin{aligned} & \omega_{2^l}^{a'_1 c'_1} e^{2\pi i \left(a_{l-1} + \frac{a_{l-2}}{2} + \dots + \frac{a_{(l-1)t}}{2^{l-1}} \right) \varphi_1} \\ & = e^{\frac{2\pi i a'_1 c'_1}{2^l}} e^{2\pi i \left(a_{l-1} + \frac{a_{l-2}}{2} + \dots + \frac{a_{(l-1)t}}{2^{l-1}} \right) \left(\frac{c_0}{2^{n-l+1}} + \dots + \frac{c_{n-l-1}}{2^2} \right)} \\ & = e^{\frac{\pi i a_{l-1}}{2^{n-l}} (c_0 + 2c_1 + \dots + 2^{n-(l-1)t-1} c_{n-(l-1)t-1})} \end{aligned}$$

$$\dots e^{\frac{\pi i a_{(l-1)t}}{2^{n-(l-1)t-1}} (c_0 + 2c_1 + \dots + 2^{n-(l-1)t-1} c_{n-(l-1)t-1})}$$

$$= e^{\pi i \left(\frac{ca_{l-1}}{2^{n-l}} + \frac{ca_{l-2}}{2^{n-l+1}} + \dots + \frac{ca_{(l-1)t}}{2^{n-(l-1)t-1}} \right)},$$

即

$|c_{n-(l-1)t-1}, c_{n-(l-1)t-2}, \dots, c_{n-l}\rangle$ 的几率幅为

$$\frac{1}{2^{l/2}} e^{\pi i \left(\frac{ca_{l-1}}{2^{n-l}} + \frac{ca_{l-2}}{2^{n-l+1}} + \dots + \frac{ca_{(l-1)t}}{2^{n-(l-1)t-1}} \right)}.$$

同理可得

$|c_{n-(l-2)t-1}, c_{n-(l-2)t-2}, \dots, c_{n-(l-1)}\rangle$ 的几率幅为

$$\frac{1}{2^{l/2}} e^{\pi i \left(\frac{ca_{(l-1)t-1}}{2^{n-(l-1)t}} + \frac{ca_{(l-1)t-2}}{2^{n-(l-1)t+1}} + \dots + \frac{ca_{(l-2)t}}{2^{n-(l-2)t-1}} \right)},$$

\vdots

$|c_{n-1}, c_{n-2}, \dots, c_{n-t}\rangle$ 的几率幅为 $\frac{1}{2^{t/2}} e^{\pi i \left(\frac{ca_{n-1}}{2^{n-t}} + \frac{ca_{n-2}}{2^{n-t+1}} + \dots + \frac{ca_0}{2^{n-1}} \right)}$.

因此, 对 $|a\rangle$ 做 U_{F_t} 变换之后, 任意基态 $|c\rangle = |c_{n-1}, c_{n-2}, \dots, c_0\rangle$ 的几率幅为

$$A = \frac{1}{2^{n/2}} e^{\pi i \left(\frac{ca_{n-1}}{2^0} + \frac{ca_{n-2}}{2^1} + \dots + \frac{ca_l}{2^{n-l-1}} \right)} \cdot e^{\pi i \left(\frac{ca_{l-1}}{2^{n-l}} + \frac{ca_{l-2}}{2^{n-l+1}} + \dots + \frac{ca_{(l-1)t}}{2^{n-(l-1)t-1}} \right)} \dots$$

$$e^{\pi i \left(\frac{ca_{t-1}}{2^{n-t}} + \frac{ca_{t-2}}{2^{n-t+1}} + \dots + \frac{ca_0}{2^{n-1}} \right)},$$

经过化简可得, $A = \frac{1}{2^{n/2}} \omega_2^{ac}$.

由定义 1 可知, 对量子态 $|a\rangle$ 做量子 Fourier 变换 U_F , 可得

$$U_F |a\rangle = \frac{1}{2^{n/2}} \sum_{c=0}^{2^n-1} \omega_2^{ac} |c\rangle.$$

因此, 对量子态 $|a\rangle$ 做变换 U_F 变换之后, 任意基态 $|c\rangle = |c_{n-1}, c_{n-2}, \dots, c_0\rangle$ 的几率幅为

$$\frac{1}{2^{n/2}} \omega_2^{ac}.$$

故结论成立.

证毕.

由定理 1 可知, t 比特半经典量子 Fourier 变换可以实现量子 Fourier 变换, 其实现线路可以按图 2 方式设计.

图 2 的相关说明.

(1) 图中每个粗线虚框记为虚框 1、含 E_1 的细线虚框记为虚框 2、含 E_2 的每个细线虚框记为虚框 3, 其中 E_1 是 $n-t$ 维量子 Fourier 变换, E_2 是 t 维量子 Fourier 变换, E_1 、 E_2 的具体实现线路可参见文献[16];

(2) 虚框 2 的输出值为 $n-t+1$ 个, 分别为 $c_{n-t-1}, c_{n-t-2}, \dots, c_0$ 和 $\varphi' = \frac{c_0}{2^{n-t+1}} + \dots + \frac{c_{n-t-1}}{2^2}$, 如果虚框 3 输入为 $a'_{t-1}, a'_{t-2}, \dots, a'_0$, 则其输出 $t+1$ 个经典值 $c'_{t-1}, c'_{t-2}, \dots, c'_0$ 和 $\varphi' = \frac{\varphi}{2^t} + \frac{c'_0}{2^{t+1}} + \dots + \frac{c'_{t-1}}{2^2}$, 且 $R_j = \begin{bmatrix} 1 & 0 \\ 0 & e^{2\pi i \varphi / 2^{j-1}} \end{bmatrix}$, 其中 φ' 是下一个虚框 1 的输入值, $j=1, 2, \dots, t$, φ 是虚框 1 输入的经典值且 φ 的初始值为 0;

(3) 最终观测结果 $c = \sum_{j=0}^{n-1} 2^j c_j$.

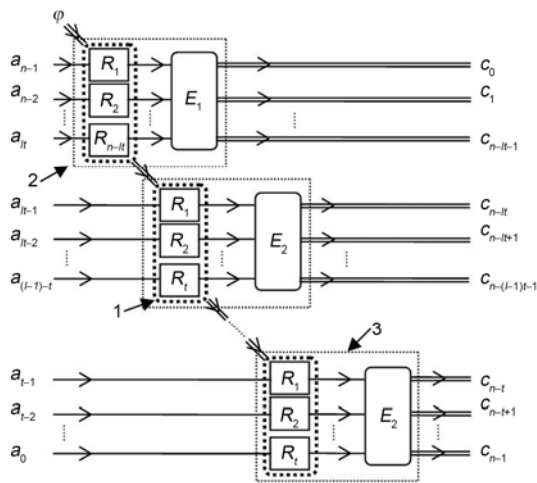


图 2 t 比特半经典量子 Fourier 变换的实现线路图

下面对 t 比特半经典量子 Fourier 变换的实现线路所需资源进行分析.

从图 2 可以看出, t 比特半经典量子 Fourier 变换只需要 t 维量子寄存器. 由于实现 n 维量子 Fourier 变换需要 $n^2/2$ 个 2 位量子门、 n 个 1 位量子门^[16], 因此, 在图 2 中需要 $t^2/2$ 个 2 位量子门、 t 个 1 位量子门用于实现 t 维量子 Fourier 变换且需 t 个 1 位量子门用于实现 R_j ($j=1, 2, \dots, t$), 亦即 t 比特半经典量子 Fourier 变换所需 2 位量子门和 1 位量子门的规模是量子 Fourier 变换的 $1/t^2, 2/t$; 与单比特半经典量子 Fourier 变换相比, 由于 t 比特半经典量子 Fourier 变换

需要进行 1 次 $\frac{1}{2^{(n-t)/2}} \sum_{c=0}^{2^{n-t}-1} |c\rangle$ 叠加态和 t' 次 $\frac{1}{2^{t'/2}} \sum_{c=0}^{2^{t'}-1} |c\rangle$ 叠加态的制备, 单比特半经典量子 Fourier 变换需要进行 L 次 $(|0\rangle+|1\rangle)/\sqrt{2}$ 叠加态的制备, 因此, 实现速度提高了大约 t 倍.

3 Parker 的 Shor 整数分解量子算法的实现线路

2000 年, Parker 等人提出了一个 Shor 整数分解量子算法的实现线路, 其具体实现线路如图 3 所示^[18].

其中, H 为 Hadamard 门^[16], $R'_j = \begin{pmatrix} 1 & 0 \\ 0 & \phi_j \end{pmatrix}$,

$\phi_j = e^{-2\pi i \sum_{k=2}^j m_{j-k}/2^k}$, U_a 由一个控制比特控制, 其变换为 $cU_a |r\rangle |x\rangle = |r\rangle |a^r x \bmod N\rangle$, 最终观测得到的结果 $c = \sum_{i=0}^L 2^{L-i} m_i$, $L = 2\lceil \log N \rceil + 1$, $\lceil \log N \rceil$ 是比 $\log N$ 大的最小整数, 图 3 中的量子态 $|0\rangle+|1\rangle$ 实际上是量子态 $\frac{1}{\sqrt{2}}(|0\rangle+|1\rangle)$, 是 $|0\rangle$ 态通过 Hadamard 变换得到的, 此处简称为 $|0\rangle+|1\rangle$.

Parker 的 Shor 整数分解量子算法的实现线路需要 $\lceil \log N \rceil + 1$ 维量子寄存器, 并且需要 $O(\lceil \log N \rceil^3)$ 基

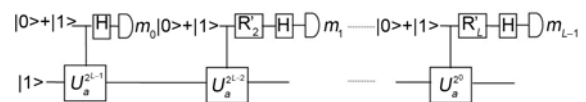


图 3 Parker 等人的 Shor 整数分解量子算法实现线路

本量子门^[18]. 文献[19]中进一步指出该线路需要 nL 次加法运算(加法运算是两个 n 比特的数相加, $n = \lceil \log N \rceil$), 其预计算为 $\alpha \bmod N, \alpha^2 \bmod N, \dots, \alpha^{2^{L-1}} \bmod N$.

4 基于窗口法的 Shor 整数分解量子算法实现方案及分析

文献[16]中指出模幂运算 $\alpha^k \bmod N$ 是 Shor 算法实现中最耗时的. 在经典计算机上, 提高模幂运算的实现速度通常有两种方法: 一种是研究整数 k 的表示法; 另外一种是通过增加预计算量来提高模幂运算的实现速度, 比如窗口法^[20]. 窗口法是以空间换时间来提高模幂运算的实现速度, 其大体思想是: 对 k 的二进制表示式, 用固定长度 t , 按一定的规则进行划分, 即将 k 表示为如下形式

$$k = \sum_{i=0}^{v-1} 2^i u_i, \quad 0 \leq k_i \leq 2^t - 1, \quad 0 \leq i \leq v-1.$$

这样, 如果计算模幂运算之前先将 $\alpha, \alpha^{2^t}, \alpha^{2^{2t}} \dots, \alpha^{2^{(v-1)t}}$ 求解并存储起来, 则在计算模幂运算时就可以减少加法运算的次数, 而且每次进行运算时 u_i 的所有比特信息均已输入. 如果要将窗口法与量子实现线路相融合, 那么每个 u_i 的所有比特信息需同时输入.

以下基于窗口法和 t 比特半经典量子 Fourier 变换重新设计 Shor 整数分解量子算法实现线路, 其具体量子实现线路如图 4 所示.

图 4 的相关说明:

- (1) 最终观测结果为 $c = \sum_{i=0}^{L-1} 2^i m_i$, 如果 t 不能整除 L , 那么 $l' = \lfloor L/t \rfloor$, 否则 $l' = \lfloor L/t \rfloor - 1$;
- (2) 虚框 2 和虚框 3 的结构、上方的输出值均与图 2 一样, 虚框 2 的输入比特是 $L - l't$ 比特, 虚框 3

的输入是 t 比特, φ 的初始值为 0;

(3) 假设 $U_{\alpha}^{u_i 2^i}$ 黑盒的左端输入是 A , 那么输出的结果是 $A \cdot \alpha^{u_i 2^i} \bmod N$, 其中 $\alpha^{u_i 2^i} \bmod N$ 是在经典计算机上预计算, $u_i = \sum_j 2^j u'_j$ (u'_0, u'_1, \dots 分别为 $U_{\alpha}^{u_i 2^i}$ 黑盒从右至左的上端输入值);

(4) 图中的量子态 $|0\rangle + |1\rangle$ 实际上是量子态 $\frac{1}{\sqrt{2}}(|0\rangle + |1\rangle)$, 是 $|0\rangle$ 态通过 Hadamard 变换得到的, 此处简写为 $|0\rangle + |1\rangle$;

(5) 图中的 $|1\rangle$ 是 $\lceil \log N \rceil$ 比特, $|0\rangle + |1\rangle$ 是 1 比特. 由图 4 易知, $\alpha^k \bmod N$ 是通过 $U_{\alpha}^{u_r 2^r}, U_{\alpha}^{u_{r-1} 2^{(r-1)t}}, \dots, U_{\alpha}^{u_0 2^0}$ 黑盒计算出来的, 其输出的结果为 $\alpha^{\sum_{i=0}^{l'} u_i 2^i} \bmod N$ (u_i 为 $U_{\alpha}^{u_i 2^i}$ 黑盒的上端输入值), 即 $\sum_{i=0}^{l'} u_i 2^i$ 正好是整数 k 的窗口宽度为 t 的窗口表示. 也就是说, 窗口宽度与 t 比特半经典量子 Fourier 变换的输入维数相等.

该实现线路需要 $\lceil \log N \rceil + t$ 维量子寄存器. 因为运行 1 次 R_t 门需要 $O(1)$ 基本量子门, 而运行一次量子 Fourier 变换需要 $O(t^2)$ 基本量子门, 所以运行 1 次虚框 2, 1 次虚框 3 均需要 $O(t^2)$ 基本量子门, 又由于实现 1 次模幂运算需要 $O(\lceil \log N \rceil^3)$ 基本量子门, 因此, 新的量子线路整体需要 $O(\lceil \log N \rceil^3)$ 基本量子门. 与文献 [18] 相比, 所需的基本量子门均为 $O(\lceil \log N \rceil^3)$, 但所需量子寄存器的维数前者较后者多 $t-1$ 维.

Shor 整数分解量子算法实现线路的运行时间是通过模幂运算和量子 Fourier 变换运算运行时间刻画的^[15]. 文献[19]中指出实现一次模幂运算需要 n 次加

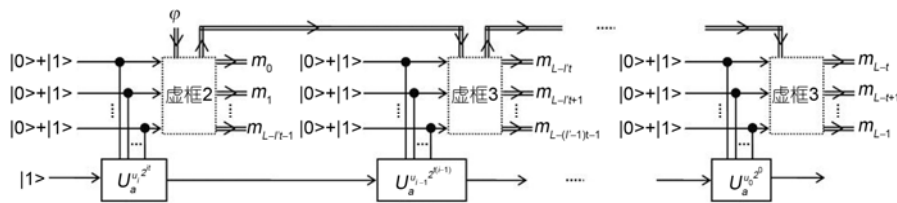


图 4 基于窗口法和 t 比特半经典量子 Fourier 变换的 Shor 整数分解量子算法实现线路

法运算, 而新的量子线路需要进行 $l'+1$ 次模幂运算, 因此, 新量子线路的模幂运算需要 $(l'+1)n$ 次加法运算, 且需要预计算 $\alpha^{1+2^j} \bmod N, \alpha^{2+2^j} \bmod N, \dots, \alpha^{2^l-1+2^j} \bmod N (j=0,1,\dots,l')$. 文献[18]的 Shor 整数分解量子算法实现线路的模幂运算需要 nL 次加法运算, 因此, 新的量子线路的模幂运算实现速度比文献[18]提高了约 t 倍. 又由第 2 节分析可知, t 比特半经典量子 Fourier 变换实现速度比单比特半经典量子 Fourier 变换大约快 t 倍, 因此, 总体而言, 新的量子线路的实现速度比文献[18]提高约 t^2 倍, 但预计算增加约 $2^l/t$ 倍.

5 结束语

本文针对目前大维数量子寄存器生成的困难性, 深入研究了基于小维数量子寄存器实现大维数量子 Fourier 变换的方法. 提出了 t 比特半经典量子 Fourier 变换, 既兼顾了量子资源又兼顾了实现速度, 设计了该变换的实现线路. 给出了经典的固定窗口法与 Shor 整数分解量子计算算法的融合方法, 设计了基于该方法的 Shor 整数分解量子计算算法实现线路, 与 Parker 等人的实现线路相比, 在计算资源大体相同的条件下实现速度提高了 t^2 倍, t 是窗口宽度.

参考文献

- 1 Shor P W. Polynomial-time algorithms for prime factorization and discrete logarithms on a quantum computer. *SIAM J Comput*, 1997, 26: 1484–1509
- 2 Grover L K. A fast quantum mechanics algorithm for database search. In: *Proceeding of the 28th ACM Symposium on Theory of Computation*. New York: ACM Press, 1996. 212–219
- 3 Long G L, Xiao L. Parallel quantum computing in a single ensemble quantum computer. *Phys Rev A*, 2004, 69: 052303
- 4 Zhong P C, Bao W S. Quantum mechanical meet-in-the-middle search algorithm for triple-DES. *Chinese Sci Bull*, 2010, 55: 321–325
- 5 Gao F, Guo F Z, Wen Q Y, et al. Revisiting the security of quantum dialogue and bidirectional quantum secure direct communication. *Sci China Ser G-Phys Mech Astron*, 2008, 51: 559–566
- 6 Chen W, Han Z F, Mo X F, et al. Active phase compensation of quantum key distribution system. *Chinese Sci Bull*, 2008, 53: 1310–1314
- 7 Fang X M, Zhu X W, Hong M, et al. Realization of quantum discrete Fourier transform with NMR. *Chinese Sci Bull*, 2000, 45: 1071–1075
- 8 He Y G, Sun J G. Complete quantum circuit of HAAR wavelet based MRA. *Chinese Sci Bull*, 2005, 50: 1796–1798
- 9 Cao Y, Peng S G, Zgeng C, et al. Quantum Fourier transform and phase estimation in qudit system. *Commun Theor Phys*, 2011, 55: 790–794
- 10 Wang X, Bao W S, Fu X Q. A quantum algorithm for searching a target solution of fixed weight. *Chinese Sci Bull*, 2011, 56: 484–488
- 11 Zhou C, Bao W S, Fu X Q. Decoy-state quantum key distribution for the heralded pair coherent state photon source with intensity fluctuations. *Sci China Infor Sci*, 2010, 53: 2485–2494
- 12 Lieven M K V, Matthias S, Gregory B, et al. Experimental realization of Shor's quantum factorization algorithm using nuclear magnetic resonance. *Nature*, 2001, 414: 883–887
- 13 Vedral V, Barenco A, Ekert A. Quantum networks for elementary arithmetic operations. *Phys Rev A*, 1996, 54: 147–153
- 14 Beckman D, Chari A N, Devabhaktuni S, et al. Efficient networks for quantum factoring. *Phys Rev A*, 1996, 54: 1034–1063
- 15 Zalka C. Fast versions of Shor's quantum factoring algorithm. *Arxiv: quant-ph/9806084v1*, 1998
- 16 Nielsen M A, Chuang I L. *Quantum Computation and Quantum Information*. London: Cambridge University Press, 2000
- 17 Griffiths R B, Niu C S. Semiclassical Fourier transform for quantum computation. *Phys Rev Lett*, 1996, 76: 3228–3232
- 18 Parker S, Plenio M B. Efficient factorization with a single pure qubit and $\log N$ mixed qubits. *Phys Rev Lett*, 2000, 85: 3048–3052
- 19 Fu X Q, Bao W S, Zhou C. Speeding up implementation for Shor's factorization quantum algorithm. *Chinese Sci Bull*, 2010, 55: 3648–3653
- 20 Kenji K, Yukio T. Speeding up elliptic cryptosystems using a signed binary window method. In: *Proceeding of the 12th Annual International Cryptology Conference on Advances in Cryptology*. Berlin: Springer-Verlag, 1993. 345–357